5. PK - Ball Sound

Wie entwickelt sich der Ton, der beim Zusammenstoß zweier Metallkugeln entsteht?

Leonard Hackel und Niklas Schelten

Herder Oberschule Berlin

21. März 2015

1. Das Experiment
   - Vorführung
   - Zusammensetzung des Tons
   - Simulation

2. Physikalische Analyse
   - Chirp
     - Physikalische Beschreibung des Tons
     - Verallgemeinerung
   - Peak
     - Frequenz

Experiment

Chirp

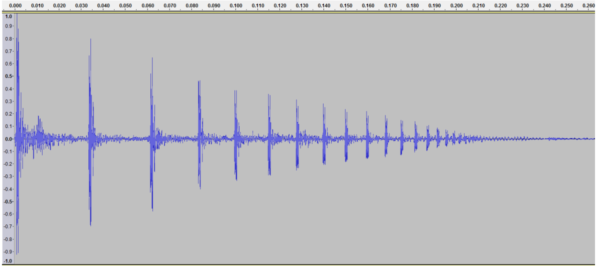

jugend forscht

HERDER

Chirp

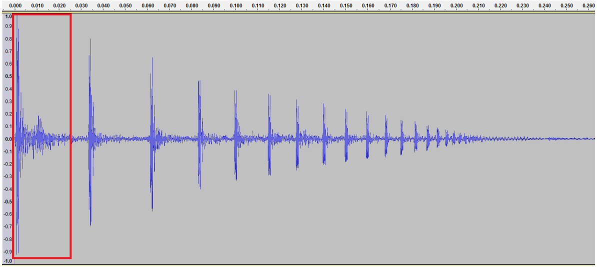
0.000
0.010
0.020
0.030
0.040
0.050
0.060
0.070
0.080
0.090
0.100
0.110
0.120
0.130
0.140
0.150
0.160
0.170
0.180
0.190
0.200
0.210
0.220
0.230
0.240
0.250
0.260
1.0
0.9
0.8
0.7
0.6
0.5
0.4
0.3
0.2
0.1
0.0
-0.1
-0.2
-0.3
-0.4
-0.5
-0.6
-0.7
-0.8
-0.9
-1.0

Peak

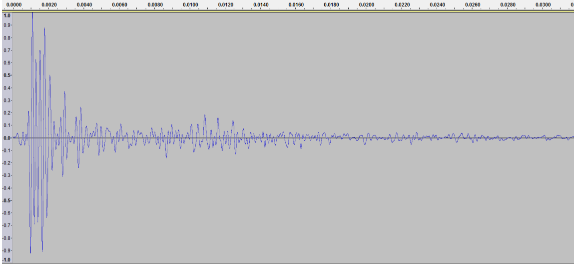
0.0000
0.0020
0.0040
0.0060
0.0080
0.0100
0.0120
0.0140
0.0160
0.0180
0.0200
0.0220
0.0240
0.0260
0.0280
0.0300
1.0
0.9
0.8
0.7
0.6
0.5
0.4
0.3
0.2
0.1
0.0
-0.1
-0.2
-0.3
-0.4
-0.5
-0.6
-0.7
-0.8
-0.9
-1.0

Peak

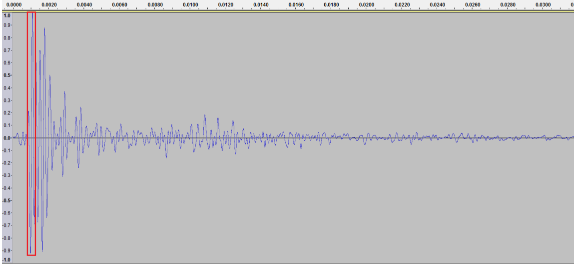

PeakPeak

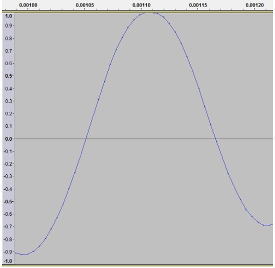
0.00100
0.00105
0.00110
0.00115
0.00120
1.0
0.9
0.8
0.7
0.6
0.5
0.4
0.3
0.2
0.1
0.0
-0.1
-0.2
-0.3
-0.4
-0.5
-0.6
-0.7
-0.8
-0.9
-1.0

Frequenzen

- Chirp Frequenz

Frequenzen

- Chirp Frequenz

  $\rightarrow$ Anzahl der Peaks pro Sekunde

Frequenzen

- Chirp Frequenz
  - $\rightarrow$ Anzahl der Peaks pro Sekunde
- Peak Frequenz

jugend forscht

HERDER

Frequenzen

- Chirp Frequenz
  - $\rightarrow$ Anzahl der Peaks pro Sekunde
- Peak Frequenz
  - $\rightarrow$ Anzahl der PeakPeaks pro Sekunde

Simulation

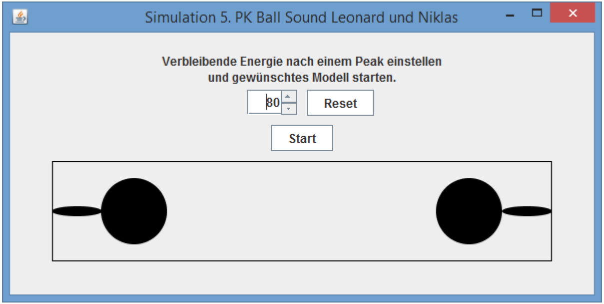
Simulation 5. PK Ball Sound Leonard und Niklas
Verbleibende Energie nach einem Peak einstellen
und gewünschtes Modell starten.
80
Reset
Start

Periodendauer

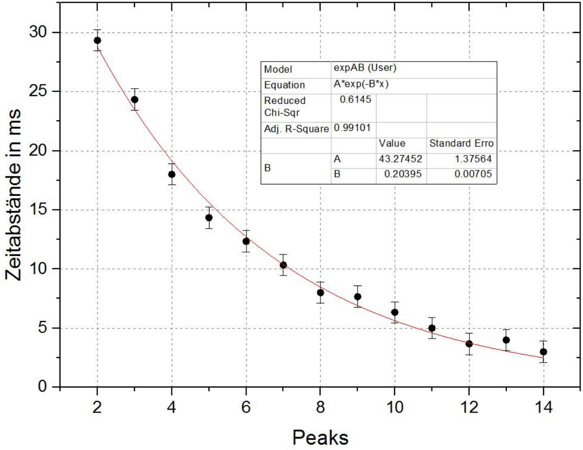

Periodendauer

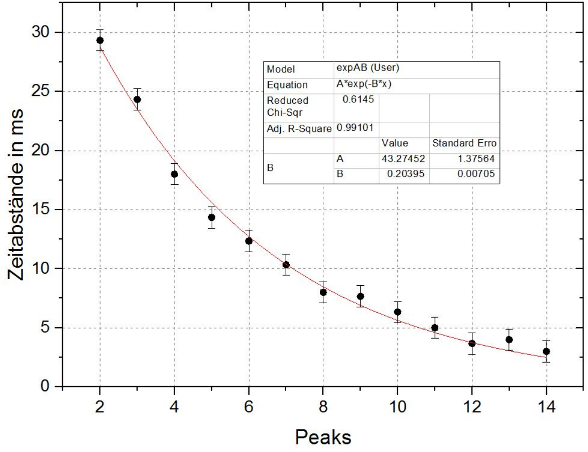

- $\delta_n = \delta_1 \cdot b^{n-1}$ mit $0 \leq b < 1$

Amplitude

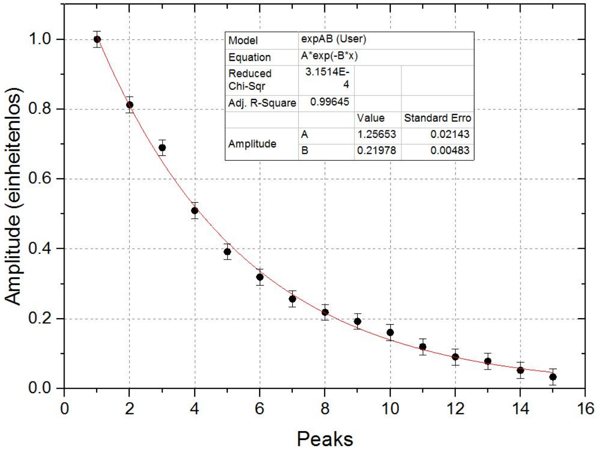
Model
expAB (User)
Equation
A*exp(-B*x)
Reduced Chi-Sqr
3.1514E-4
Adj. R-Square
0.99645
Value
Standard Erro
Amplitude
A
1.25653
0.02143
B
0.21978
0.00483
Amplitude (einheitenlos)
Peaks
1.0
0.8
0.6
0.4
0.2
0.0
0
2
4
6
8
10
12
14
16

Amplitude

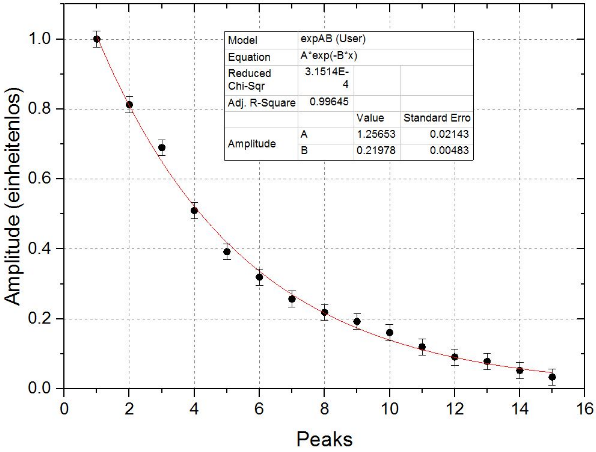

- $y_n = a \cdot y_{n-1}$ mit $0 \leq a < 1$

jugend forscht

HERDER

Amplitude

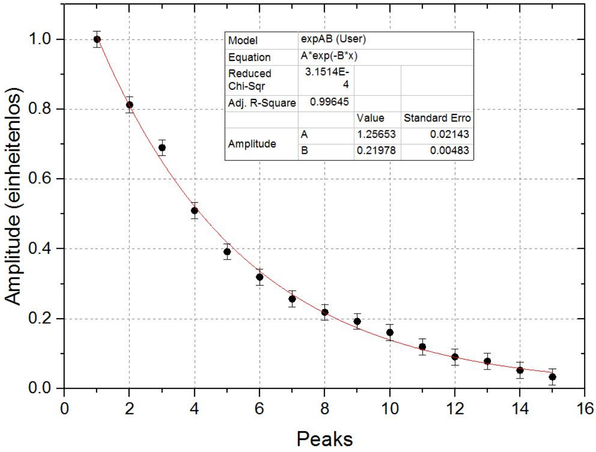

- $y_n = a \cdot y_{n-1}$ mit $0 \leq a < 1$
- $\Leftrightarrow y_n = a^n \cdot y_0$

Gleichsetzung

- beides nach n umformen:

Gleichsetzung

- beides nach n umformen:

$\rightarrow$ Periode: $n = \dfrac{\log\left(1 - \frac{t_n}{t_{ges}}\right)}{\log b}$

Gleichsetzung

- beides nach n umformen:
  - $\rightarrow$ Periode: $n = \dfrac{\log\left(1 - \frac{t_n}{t_{ges}}\right)}{\log b}$
  - $\rightarrow$ Amplitude: $n = \dfrac{\log \frac{y_n}{y_0}}{\log a}$

Gleichsetzung

- beides nach n umformen:
  - $\rightarrow$ Periode: $n = \frac{\log\left(1 - \frac{t_n}{t_{ges}}\right)}{\log b}$
  - $\rightarrow$ Amplitude: $n = \frac{\log \frac{y_n}{y_0}}{\log a}$
- Gleichsetzen und nach y_n umformen:

Gleichsetzung

- beides nach n umformen:
  - $\rightarrow$ Periode: $n = \frac{\log\left(1-\frac{t_n}{t_{ges}}\right)}{\log b}$
  - $\rightarrow$ Amplitude: $n = \frac{\log \frac{y_n}{y_0}}{\log a}$
- Gleichsetzen und nach y_n umformen:
  - $\rightarrow$ $y_n = y_0 \cdot \left(1 - \frac{t_n}{t_{ges}}\right)^{\frac{\log a}{\log b}}$

Verallgemeinerung - warum

- unterschiedliche rücktreibende Kräfte

Verallgemeinerung - warum

- unterschiedliche rücktreibende Kräfte
  - Gravitation

Verallgemeinerung - warum

- unterschiedliche rücktreibende Kräfte
  - Gravitation
  - Magnetkraft

jugend forscht
HERDER

Verallgemeinerung - warum

- unterschiedliche rücktreibende Kräfte
  - Gravitation
  - Magnetkraft
  - Federkaft

Verallgemeinerung - warum

- unterschiedliche rücktreibende Kräfte $\rightarrow$ Potenz des Weges
  - Gravitation
  - Magnetkraft
  - Federkaft

Verallgemeinerung - warum

- unterschiedliche rücktreibende Kräfte → Potenz des Weges
  - Gravitation → nahezu s^0
  - Magnetkraft
  - Federkaft

jugend forscht

HERDER

Verallgemeinerung - warum

- unterschiedliche rücktreibende Kräfte $\rightarrow$ Potenz des Weges
  - Gravitation $\rightarrow$ nahezu s^0
  - Magnetkraft $\rightarrow$ s^{-2} (homogen)
  - Federkaft

Verallgemeinerung - warum

- unterschiedliche rücktreibende Kräfte $\rightarrow$ Potenz des Weges
  - Gravitation $\rightarrow$ nahezu s^0
  - Magnetkraft $\rightarrow$ s^{-2} (homogen)
  - Federkaft $\rightarrow$ s^1

Verallgemeinerung - Ansatz

- $F = c \cdot s^a$

Verallgemeinerung - Ansatz

- $F = c \cdot s^a$

$\rightarrow$ $E = \frac{c}{a+1} \cdot s^{a+1}$

Verallgemeinerung - Ansatz

- $F = c \cdot s^a$

$\rightarrow$ $E = \frac{c}{a+1} \cdot s^{a+1}$

- Schwingung zwischen dieser und kinetischer Energie

jugend forscht
HERDER

Verallgemeinerung - Ansatz

- $F = c \cdot s^a$

$\rightarrow$ $E = \frac{c}{a+1} \cdot s^{a+1}$

- Schwingung zwischen dieser und kinetischer Energie

  $\rightarrow$ $\frac{m}{2} v^2 + \frac{c}{a+1} \cdot s^{a+1} = konst$

Verallgemeinerung - Ansatz

- **Durch Ableiten:**

Verallgemeinerung - Ansatz

- **Durch Ableiten:**

$$\frac{m \cdot 2v \cdot \dot{v}}{2} + c \cdot s^a \cdot \dot{s} = 0$$

Verallgemeinerung - Ansatz

- **Durch Ableiten:**

$$\frac{m \cdot 2v \cdot \dot{v}}{2} + c \cdot s^a \cdot \dot{s} = 0$$

$$\Leftrightarrow \quad m \cdot \ddot{s} + c \cdot s^a = 0$$

Verallgemeinerung - Nummerische Simulation

- nicht-lineare Differentialgleichung

Verallgemeinerung - Nummerische Simulation

- nicht-lineare Differentialgleichung
- In „Simulation“Energieverlust durch Abnahme von v implementiert

Verallgemeinerung - Nummerische Simulation

- nicht-lineare Differentialgleichung
- In „Simulation“Energieverlust durch Abnahme von v implementiert
- erste Nullstelle entspricht der Zeitspanne bis zum nächsten Peak

Verallgemeinerung - Nummerische Simulation

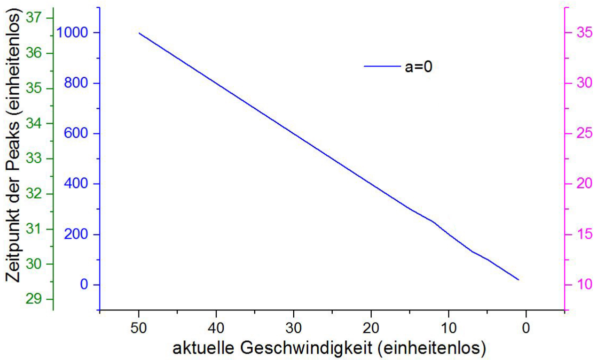

Verallgemeinerung - Nummerische Simulation

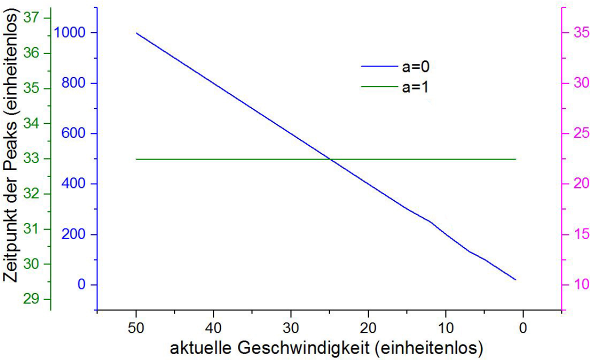

Verallgemeinerung - Nummerische Simulation

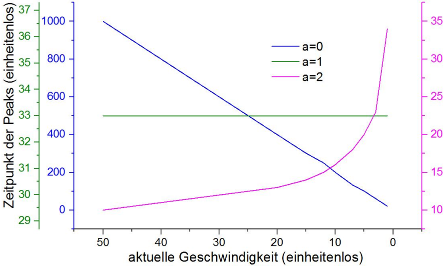

Frequenz

- Peak Frequenz für jeden Peak gleich

jugend forscht

HERDER

Frequenz

- Peak Frequenz für jeden Peak gleich
- zwei Ursprünge:

Frequenz

- Peak Frequenz für jeden Peak gleich
- zwei Ursprünge:
    - Eigenfrequenz der Kugeln

Frequenz

- Peak Frequenz für jeden Peak gleich
- zwei Ursprünge:
    - Eigenfrequenz der Kugeln
    - Frequenz zwischen den Kugeln

Eigenfrequenz

- stehende Welle in den Kugeln

Eigenfrequenz

- stehende Welle in den Kugeln
  $\rightarrow\ f = \frac{c}{\lambda} = \frac{5170 m/s}{8 \cdot 0{,}017 m} \approx 38 kHz$

Eigenfrequenz

- stehende Welle in den Kugeln

  $\rightarrow$ $f = \frac{c}{\lambda} = \frac{5170 m/s}{8 \cdot 0{,}017 m} \approx 38 kHz$

  $\rightarrow$ nicht hörbar

Eigenfrequenz

- stehende Welle in den Kugeln

  $\rightarrow\ f = \frac{c}{\lambda} = \frac{5170 m/s}{8 \cdot 0{,}017 m} \approx 38 kHz$

  $\rightarrow$ nicht hörbar
- andere Wellenlängen messbar aber nicht hörbar

„Auftreff Frequenz“

- Arbeit von K. Mehraby, H Khadem-hosseini Beheshti und M. Poursina[1]

[1] Impact noise radiated by collision of two spheres: Comparison between numerical simulations, experiments and analytical results

„Auftreff Frequenz“

- Arbeit von K. Mehraby, H Khadem-hosseini Beheshti und M. Poursina[1]

  $\rightarrow \; f = \frac{76{,}1}{r} Hz = \frac{76{,}1}{0{,}017} Hz \approx 4476 Hz$

[1] Impact noise radiated by collision of two spheres: Comparison between numerical simulations, experiments and analytical results

Frequenzanalyse

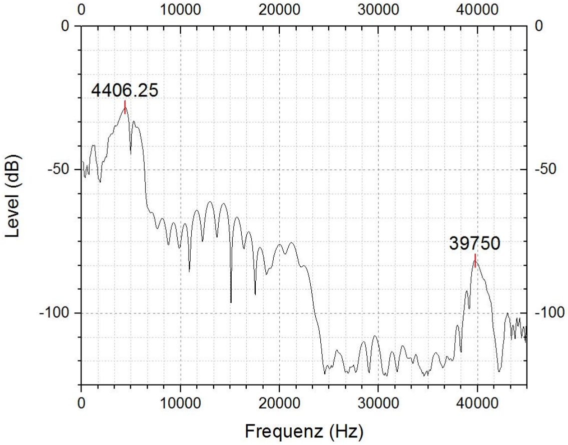

Frequenzanalyse

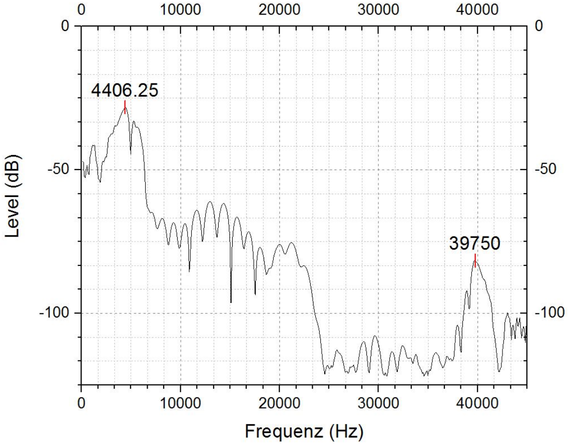

- hörbare Frequenz 4406Hz „Auftreff Frequenz“

Frequenzanalyse

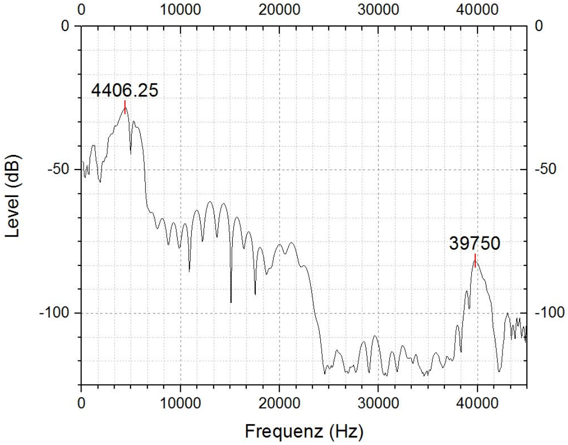

- hörbare Frequenz 4406Hz „Auftreff Frequenz“
- nicht hörbare Frequenz 39kHz Eigenfrequenz

Vielen Dank für Ihre Aufmerksamkeit